

Schémas volumes finis positifs pour l'équation de diffusion sur maillages déformés

avec P. Anguill², F. Hermeline², E. Labourasse², J. Patela²

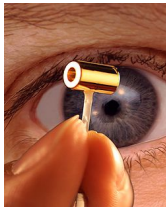
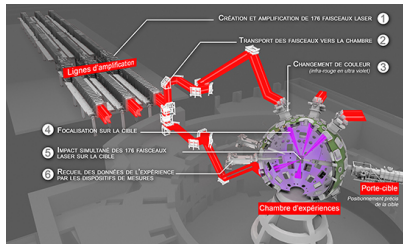
X. Blanc ¹

¹Université Paris Cité

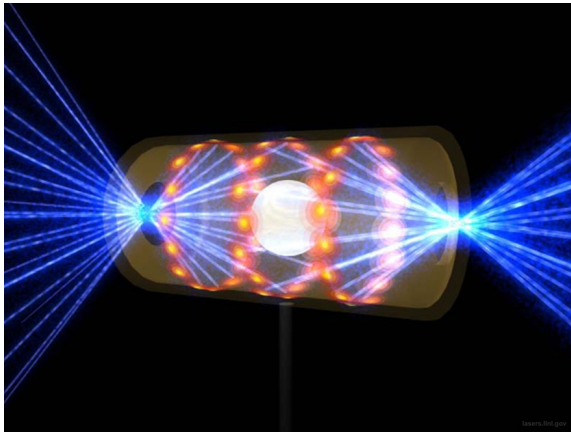
²CEA, DAM, DIF

- 1 Introduction
 - Contexte
 - Objectifs
 - Bibliographie
- 2 Schéma positif en 2D
 - Schéma volumes finis
 - Flux non linéaires
 - Traitement de la non linéarité
 - Tests numériques
- 3 Schémas positifs en 3D
 - Problèmes spécifiques
 - Tests numériques
- 4 Ordre élevé
 - Dimension 1
 - Dimension 2
- 5 Conclusion et Perspectives

Laser Mégajoule

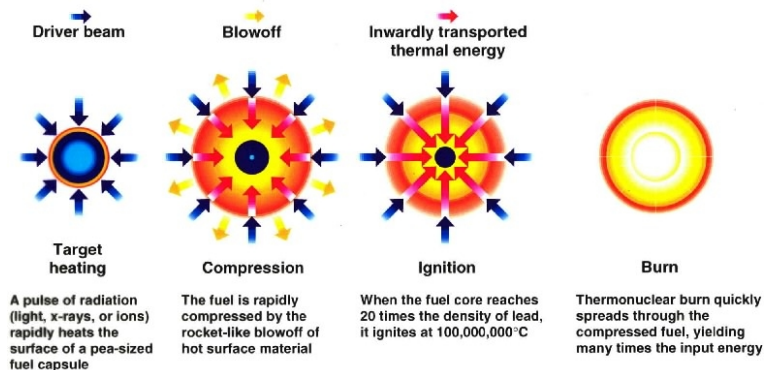


Fusion par confinement inertiel



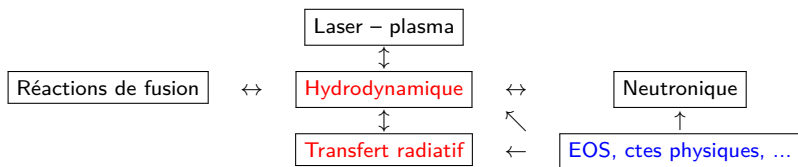
Fusion par confinement inertiel

Inertial Confinement Fusion Concept



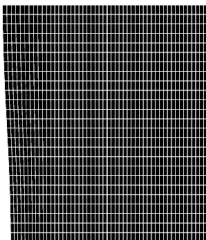
Modélisation

Couplage multi-physique:

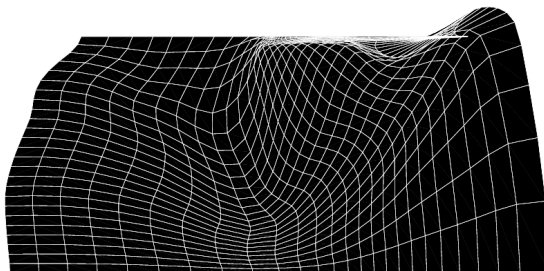


- Interaction laser-plasma
- Instabilités hydrodynamiques
- Particules supra-thermiques
- Hors-équilibre thermodynamique local
- Incertitudes
-

- Expériences de fusion par confinement inertiel (LMJ,NIF)
- Modèles physiques :
 - Hydrodynamique Lagrangienne (ou ALE)
 - Transfert radiatif (équation de diffusion)
- Parallélisme



- Expériences de fusion par confinement inertiel (LMJ,NIF)
- Modèles physiques :
 - Hydrodynamique Lagrangienne (ou ALE)
 - Transfert radiatif (équation de diffusion)
- Parallélisme



Equation de diffusion implicite :

$$-\Delta u + u = f$$

Les objectifs :

- Consistance
- Convergence (ordre 2 ?)
- Stabilité/robustesse
- Positivité/principe du maximum
- Conservativité

Les contraintes :

- Maillage déformé
- Volumes finis
- Parallélisation

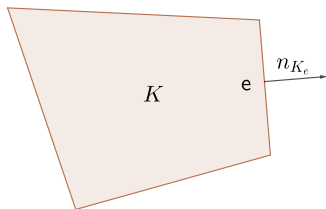
- **volumes finis (centrés) :**
 - Kershaw, Pert (1981)
 - Faille (1992)
 - Morel, Dendy, Hall, White (1992)
 - Coudière, Vila, Villedieu (1999)
 - Jayantha, Turner (2001, 2003, 2005)
 - Bertolazzi, Manzini (2005)
- **Eléments finis mixtes (hybrides) :**
 - Raviart, Thomas (1977)
 - Burbeau, Roche, Scheurer, Samba (1997)
 - Arbogast, Wheeler, Yotov (1998)
- **Discrete Duality Finite Volumes (DDFV):**
 - Hermeline (1998, 2000, 2003, 2007, 2009)
 - Domelevo, Omnes (2005)
- **Mimetic Finite Difference (MFD):**
 - Shashkov, Steinberg, Morel, Lipnikov, Brezzi (1995, 1997, 1998, 2004).

- Multi-point flux approximation (MPFA):
 - Aavatsmark, Barkve, Boe, Mannseth (1996, 1998)
 - Breil, Maire (2008)
- Scheme Using Stabilisation and Harmonic Interfaces (SUSHI):
 - Eymard, Gallouët, Herbin, 2010.
- Différences finies d'ordre élevé
 - Le Potier (2009)
- Maillages de Voronoï
 - Siess (2009)
- Volumes finis non linéaires
 - Droniou, Le Potier, Sheng, Yue, Yuan (2012, ...)
 - Sheng, Yuan (2011, ...)

Formulation volumes finis

Schéma volumes finis (maille K , faces e) :

$$\int_K u - \int_K \Delta u = \int_K f,$$
$$|K|u_K + \sum_{e \in \partial K} \left(- \int_e \nabla u \cdot n_{K_e} \right) = |K|f_K,$$



\Rightarrow Approximation consistante de

$$\mathcal{F}_{K,e} = - \int_e \nabla u \cdot n_{K_e}.$$

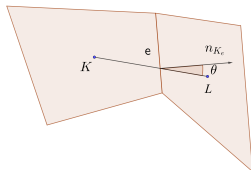
Première tentative

Le schéma le plus simple :

$$\mathcal{F}_{K,e} = - \int_e \nabla u \cdot n_{K_e}.$$

Approximation du gradient sur la face e : $\nabla u \approx \frac{u(\mathbf{x}_L) - u(\mathbf{x}_K)}{|\mathbf{x}_L - \mathbf{x}_K|} \frac{\mathbf{x}_L - \mathbf{x}_K}{|\mathbf{x}_L - \mathbf{x}_K|},$

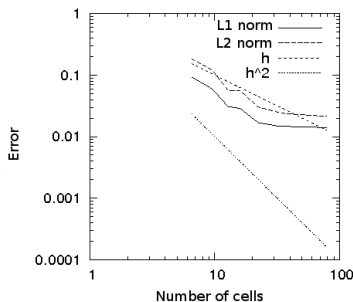
$$\nabla u \cdot n_{K_e} \approx \frac{u(\mathbf{x}_L) - u(\mathbf{x}_K)}{|\mathbf{x}_L - \mathbf{x}_K|} \frac{\mathbf{x}_L - \mathbf{x}_K}{|\mathbf{x}_L - \mathbf{x}_K|} \cdot n_{K_e} = \frac{u(\mathbf{x}_L) - u(\mathbf{x}_K)}{|\mathbf{x}_L - \mathbf{x}_K|} \cos(\theta),$$



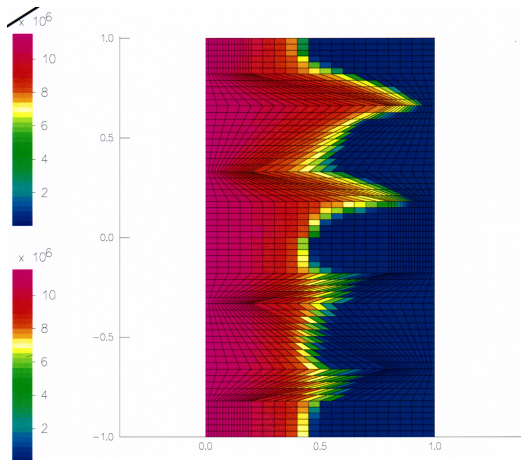
Première tentative

$$\mathcal{F}_{K,e} = - \int_e \nabla u \cdot n_{K_e} \approx |e| \frac{u_K - u_L}{|\mathbf{x}_K - \mathbf{x}_L|} \cos(\theta).$$

- M-matrice : principe du maximum.
- **non convergent** sur maillage déformé

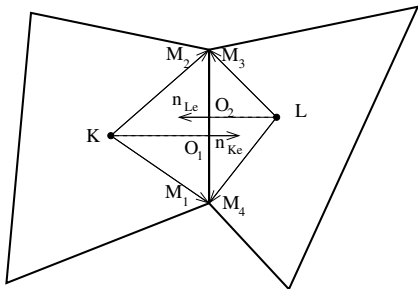


Première tentative



Deuxième tentative

Idee : utiliser des inconnues intermédiaires aux sommets pour calculer ∇u (donc le flux).



$$n_{K_e} = \alpha \frac{\overrightarrow{KM_1}}{\|\overrightarrow{KM_1}\|} + \beta \frac{\overrightarrow{KM_2}}{\|\overrightarrow{KM_2}\|}.$$

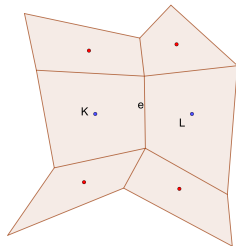
$$\begin{aligned} \mathcal{F}_{K,e} &= - \int_e \left(\alpha \frac{\nabla u \cdot \overrightarrow{KM_1}}{\|\overrightarrow{KM_1}\|} + \beta \frac{\nabla u \cdot \overrightarrow{KM_2}}{\|\overrightarrow{KM_2}\|} \right) \\ &\approx -|e| \left(\alpha \frac{u_{M_1} - u_K}{\|\overrightarrow{KM_1}\|} + \beta \frac{u_{M_2} - u_K}{\|\overrightarrow{KM_2}\|} \right) \end{aligned}$$

Valeurs aux sommets calculées par interpolation.

Deuxième tentative

Stencil à 9 points.

- Consistant, ordre 2.
- Perte du principe du maximum.



Deuxième tentative

Perte du principe du maximum.

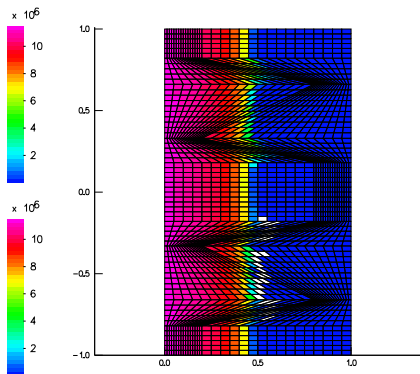
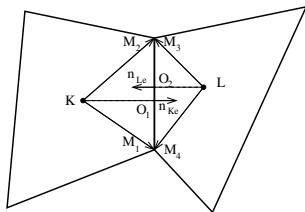


Schéma positif Yuan, Sheng, 2008

Pour chaque face, deux flux consistants :



$$F_1 = -|e|\kappa_e \left(\alpha_K \frac{u_{M_1} - u_K}{\| \overrightarrow{KM_1} \|} + \beta_K \frac{u_{M_2} - u_K}{\| \overrightarrow{KM_2} \|} \right),$$

$$F_2 = -|e|\kappa_e \left(\alpha_L \frac{u_{M_3} - u_L}{\| \overrightarrow{LM_3} \|} + \beta_L \frac{u_{M_4} - u_L}{\| \overrightarrow{LM_4} \|} \right).$$

On les combine pour en faire un flux à deux points :

$$F_{K,e} = \mu_1(u) F_1 - \mu_2(u) F_2,$$

$$F_{L,e} = \mu_2(u) F_2 - \mu_1(u) F_1,$$

$$\begin{aligned}
 F_{K,e} = & \mu_1 |e| \kappa_e \left(\alpha_K \frac{1}{\| \overrightarrow{KM_2} \|} + \beta_K \frac{1}{\| \overrightarrow{KM_1} \|} \right) u_K \\
 & - \mu_2 |e| \kappa_e \left(\alpha_L \frac{1}{\| \overrightarrow{LM_4} \|} + \beta_L \frac{1}{\| \overrightarrow{LM_2} \|} \right) u_L \\
 & - \underbrace{\mu_1 |e| \kappa_e \left(\alpha_K \frac{u_{M_2}}{\| \overrightarrow{KM_2} \|} + \beta_K \frac{u_{M_1}}{\| \overrightarrow{KM_1} \|} \right)}_{=a_1} \\
 & + \underbrace{\mu_2 |e| \kappa_e \left(\alpha_L \frac{u_{M_4}}{\| \overrightarrow{LM_4} \|} + \beta_L \frac{u_{M_3}}{\| \overrightarrow{LM_3} \|} \right)}_{=a_2}
 \end{aligned}$$

Contraintes :

$$\begin{cases} \mu_1 + \mu_2 & = & 1, \\ a_1 \mu_1 - a_2 \mu_2 & = & 0. \end{cases} \iff \mu_1 = \frac{a_2}{a_1 + a_2}, \quad \mu_2 = \frac{a_1}{a_1 + a_2}.$$

$$F_{K,e} = A_{K,e} u_K - A_{L,e} u_L, \quad F_{L,e} = -F_{K,e},$$

$$A_{K,e} = \mu_1 |e| \kappa_e \left(\alpha_K \frac{1}{\| \overrightarrow{KM_2} \|} + \beta_K \frac{1}{\| \overrightarrow{KM_1} \|} \right), \quad \mu_1 = \frac{a_2}{a_1 + a_2},$$

$$A_{L,e} = \mu_2 |e| \kappa_e \left(\alpha_L \frac{1}{\| \overrightarrow{LM_4} \|} + \beta_L \frac{1}{\| \overrightarrow{LM_3} \|} \right), \quad \mu_2 = \frac{a_1}{a_1 + a_2}.$$

$$\begin{cases} a_1 = |e| \kappa_e \left(\alpha_K \frac{u_{M_2}}{\| \overrightarrow{KM_2} \|} + \beta_K \frac{u_{M_1}}{\| \overrightarrow{KM_1} \|} \right), \\ a_2 = |e| \kappa_e \left(\alpha_L \frac{u_{M_4}}{\| \overrightarrow{LM_4} \|} + \beta_L \frac{u_{M_3}}{\| \overrightarrow{LM_3} \|} \right). \end{cases} \quad u_{M_i} = \max \left(0, \sum_{j \in V(M_j)} \omega_{M_i, j} u_{K_j} \right),$$

Flux à deux points non linéaire.

Equation

$$u - \Delta u = f.$$

Schéma

$$U + M(U)U = F,$$

$$[M(U)]_{KK} = \sum_{e \in K} A_{K,e},$$

$$[M(U)]_{KL} = -A_{L,e} \quad \text{si } K \neq L.$$

- $M(U)$ n'est pas symétrique.
- $M(U)^T$ est une M-matrice : schéma positif.
- \sum coefficients d'une colonne = 0 : schéma conservatif.

Algorithme

Schéma **non linéaire** $U + M(U)U = F$: point fixe

$$U^{n+1} + M(U^n)U^{n+1} = F.$$

- L'équation $U + M(U)U = F$ **admet une solution.**

Droniou, Le Potier, 2010

- Pour γ ($= \Delta t$) assez petit, l'algorithme

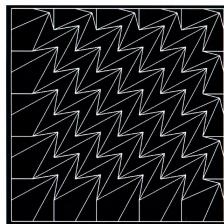
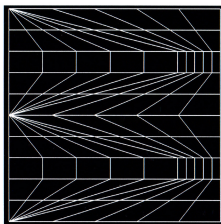
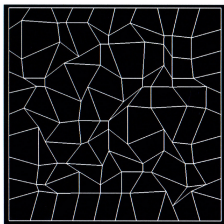
$$U^{n+1} + \gamma M(U^n)U^{n+1} = F$$

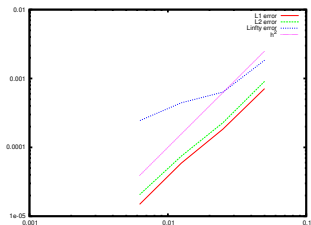
est convergent.

Etude de convergence

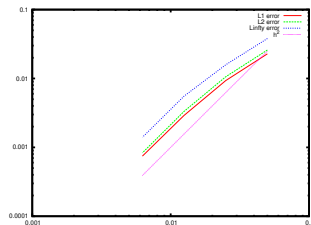
Problème avec solution analytique :

$$\begin{cases} -\Delta u = 2\pi^2 \cos(\pi x) \cos(\pi y) & \text{dans } \Omega =]0, 1[\times]0, 1[, \\ \partial_n u = 0 & \text{sur } \partial\Omega, \\ \int_{\Omega} u = 2. \end{cases}$$

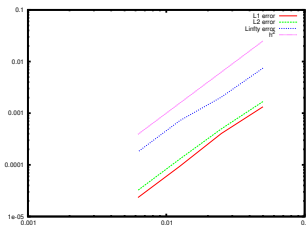




Maillage aléatoire



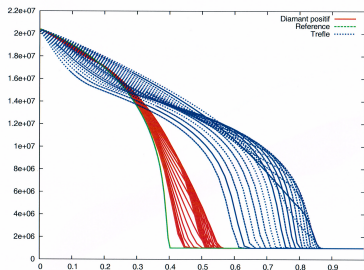
Maillage de Kershaw



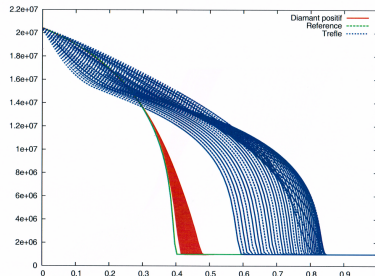
Maillage non convexe

Onde de Marshak

Onde de Marshak sur un maillage de Kershaw : $\partial_t u - \Delta u^p = 0$.
Solution explicite $u(x, t) = \left(\frac{t}{p} - x\right)_+^{1/p}$.



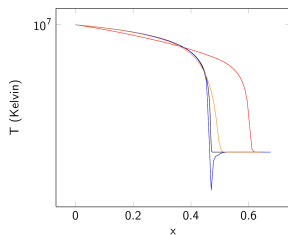
$\Delta x = 0.05$



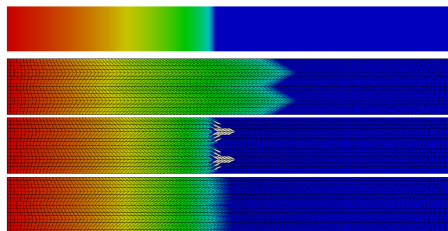
$\Delta x = 0.025$.

Onde de Marshak

Onde de Marshak sur un maillage de Kershaw : $\partial_t u - \Delta u^p = 0$.
Solution explicite $u(x, t) = \left(\frac{t}{p} - x\right)_+^{1/p}$.



$\Delta x = 0.05$

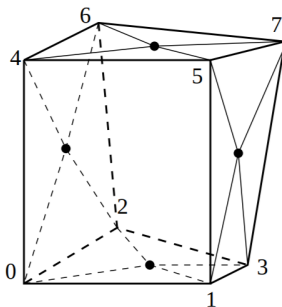


$\Delta x = 0.025$.

Dimension 3

Difficultés supplémentaires :

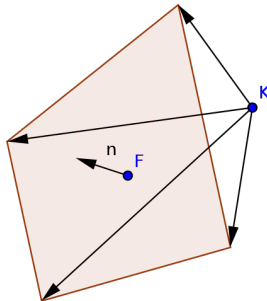
- Définition maille/face
- Base associée à une face
- Situations pathologiques



Dimension 3

Difficultés supplémentaires :

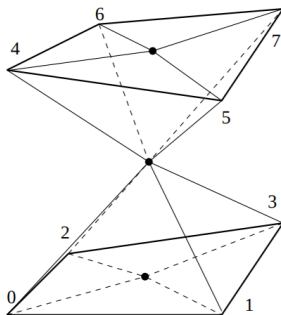
- Définition maille/face
- Base associée à une face
- Situations pathologiques



Dimension 3

Difficultés supplémentaires :

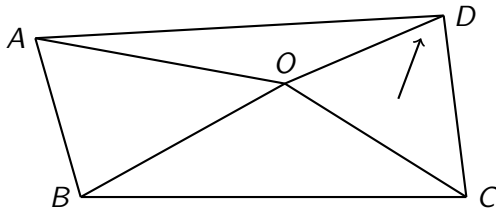
- Définition maille/face
- Base associée à une face
- Situations pathologiques



Géométrie

Définitions :

- Centre d'une face e : isobarycentre des sommets.
- Face : union des triangles définis par le centre et une arête.
- Normale effective $n_e = \int_e ndS$.



Volumes finis

Schéma volumes finis (maille K , faces e) :

$$\int_K u - \int_K \Delta u = \int_K f,$$
$$|K|u_K + \sum_{e \in \partial K} \left(- \int_e \nabla u \cdot n_{K_e} \right) = |K|f_K,$$

\Rightarrow Approximation consistante de

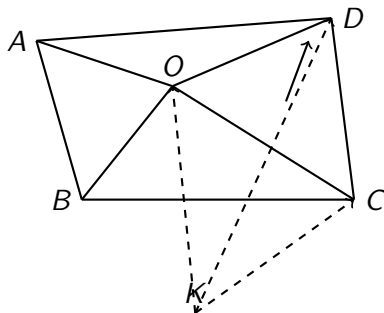
$$\mathcal{F}_{K,e} = - \int_e \nabla u \cdot n_{K_e}.$$

Volumes finis

Somme sur les triangles d'une face :

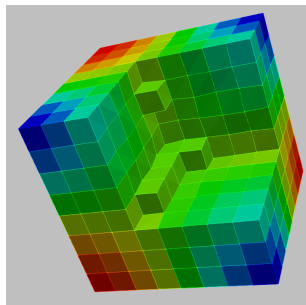
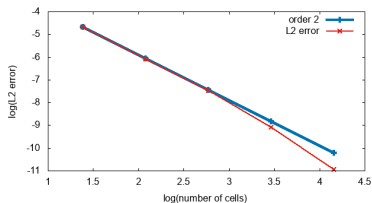
$$\mathcal{F}_{K,e} = - \int_e \nabla u \cdot n = - \sum_T (\nabla u)_T n_T.$$

- décomposition n_T
- différences finies
- combinaison de flux



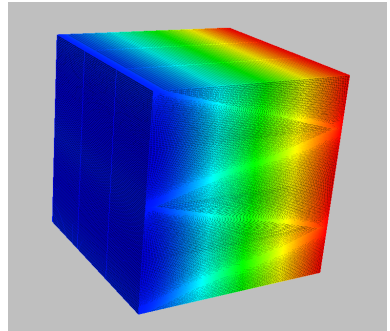
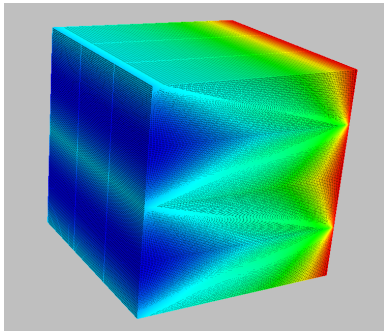
Cas tests

Un cas de convergence : $u(x, y, z) = 1 + \cos(\pi x) \cos(\pi y) \cos(\pi z)$.
Maillage aléatoire.



Cas tests

Onde de Marshak sur un maillage de Kershaw : $\partial_t u - \Delta u^p = 0$.
Solution explicite $u(x, t) = \left(\frac{t}{p} - x\right)_+^{1/p}$.



Consistance

Dimension 1 : ordre 2 consistant \Rightarrow On regarde l'ordre élevé.

$$\begin{cases} -u'' + u = f & \text{dans } \Omega =]0, 1[, \\ u = g & \text{sur } \partial\Omega, \end{cases}$$

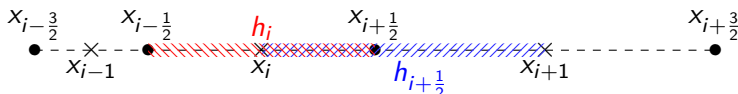
Schéma :

- d'ordre élevé (≥ 3)
- positif
- conservatif

B. Després, *Non linear schemes for the heat equation in 1D*, M2AN, 2014.

Ordre élevé

$$-u'' + u = f.$$



Méthode volumes finis :

$$\mathcal{F}_{i+\frac{1}{2}} - \mathcal{F}_{i-\frac{1}{2}} + h_i u_i = h_i f_i.$$

Flux

$$\mathcal{F}_{i+\frac{1}{2}} = -u'(x_{i+\frac{1}{2}})$$

Flux d'ordre élevé

Développements de Taylor intégrés au voisinage de $x_{i+\frac{1}{2}}$

$$u_{i+1} = u(x_{i+\frac{1}{2}}) + \frac{h_{i+1}}{2} u'(x_{i+\frac{1}{2}}) + \sum_{\ell=2}^k \frac{h_{i+1}^\ell}{(\ell+1)!} u^{(\ell)}(x_{i+\frac{1}{2}}) + \mathcal{O}(h_{i+1}^{k+1}),$$

$$u_i = u(x_{i+\frac{1}{2}}) - \frac{h_i}{2} u'(x_{i+\frac{1}{2}}) + \sum_{\ell=2}^k \frac{(-1)^\ell h_i^\ell}{(\ell+1)!} u^{(\ell)}(x_{i+\frac{1}{2}}) + \mathcal{O}(h_i^{k+1}).$$

Soustraction :

$$u'(x_{i+\frac{1}{2}}) = \frac{1}{h_{i+\frac{1}{2}}} (u_{i+1} - u_i) - \underbrace{\sum_{\ell=2}^k \frac{h_{i+1}^\ell + (-1)^\ell h_i^\ell}{h_{i+\frac{1}{2}} (\ell+1)!} u^{(\ell)}(x_{i+\frac{1}{2}})}_{r_{i+\frac{1}{2}}} + \mathcal{O}(h^k).$$

Flux exact

$$\mathcal{F}_{i+\frac{1}{2}} = -\frac{1}{h_{i+\frac{1}{2}}} (u_{i+1} - u_i) + r_{i+\frac{1}{2}}.$$

Calcul des flux

Evaluation des dérivées $u^{(\ell)}(x_{i+\frac{1}{2}})$: reconstruction polynomiale

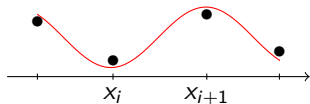
Polynôme de degré k : $k + 1$ mailles voisines de $x_{i+\frac{1}{2}}$.

$$P(x) = a_k(u_0, \dots, u_k)x^k + \dots + a_0(u_0, \dots, u_k).$$

Contraintes

$$\frac{1}{x_{i+\frac{1}{2}} - x_{i-\frac{1}{2}}} \int_{x_{i-\frac{1}{2}}}^{x_{i+\frac{1}{2}}} P(x) dx = u_i.$$

$$u^{(\ell)}|_{i+\frac{1}{2}} \approx P^{(\ell)}(x_{i+\frac{1}{2}}).$$



Positivité

Une astuce de Y. Gao et al. ¹ pour assurer la positivité

$$\mathcal{F}_{i+\frac{1}{2}} = -\frac{1}{h_{i+\frac{1}{2}}}(u_{i+1} - u_i) + r_{i+\frac{1}{2}}.$$

Partie positive et partie négative :

$$r_{i+\frac{1}{2}} = r_{i+\frac{1}{2}}^+ - r_{i+\frac{1}{2}}^-, \quad r_{i+\frac{1}{2}}^+ = \frac{|r_{i+\frac{1}{2}}| + r_{i+\frac{1}{2}}}{2} \geq 0, \quad r_{i+\frac{1}{2}}^- = \frac{|r_{i+\frac{1}{2}}| - r_{i+\frac{1}{2}}}{2} \geq 0.$$

Réécriture des flux

$$\mathcal{F}_{i+\frac{1}{2}} = -\left(\frac{1}{h_{i+\frac{1}{2}}} + \frac{r_{i+\frac{1}{2}}^-}{u_{i+1}}\right) u_{i+1} + \left(\frac{1}{h_{i+\frac{1}{2}}} + \frac{r_{i+\frac{1}{2}}^+}{u_i}\right) u_i.$$

Coefficients positifs (M-matrice), non linéarité.

¹ Y. Gao, G. Yuan, S. Wang, X. Hang, *A finite volume element scheme with a monotonicity correction for anisotropic diffusion problems on general quadrilateral meshes*, Journal of Computational Physics, 2020.

Propriétés du schéma

- Conservativité
- Positivité
- Consistance des flux à l'ordre k
- Convergence à l'ordre $k - 1$ sous hypothèse de stabilité

Schéma d'ordre élevé $Au = f$: solution \bar{u} .

Version non linéaire positive $B(u)u = f$: solution u (point fixe).

- Si $u > 0$, alors $\bar{u} = u$ (unique) solution positive.
- Sinon, $u \geq 0$ (pas "solution" de $B(u)u = f$).

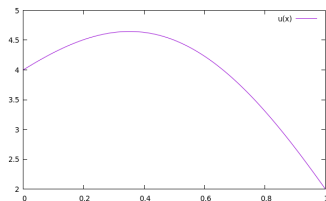
Tests numériques

$$\begin{cases} -(\kappa u')' = f & \text{dans } \Omega =]0, 1[, \\ u = g & \text{sur } \partial\Omega. \end{cases}$$

$$\kappa(x) = \exp(x).$$

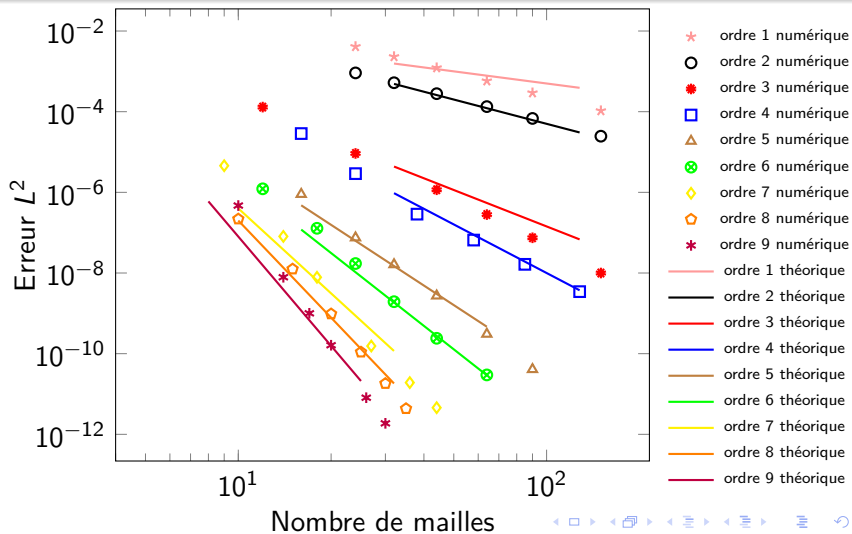
Solution analytique

$$u(x) = \sin(\pi x) - 2x^2 + 4,$$



$$\begin{cases} f(x) = 4 \exp(x) + 4x \exp(x) - \pi \cos(\pi x) \exp(x) + \pi^2 \exp(x) \sin(\pi x) \geq 0, \\ g(0) = 4 \geq 0 \quad \text{et} \quad g(1) = 2 \geq 0. \end{cases}$$

Convergence L2



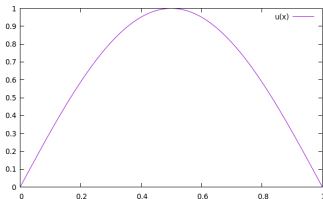
Tests numériques : positivité

$$\begin{cases} -u'' = f & \text{dans } \Omega =]0, 1[, \\ u = 0 & \text{sur } \partial\Omega. \end{cases}$$

$$f(x) = \pi^2 \sin(\pi x) \geq 0 \text{ dans } \Omega.$$

Solution analytique

$$u(x) = \sin(\pi x),$$

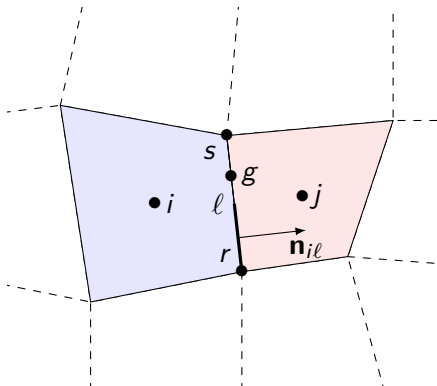


Tests numériques : positivité

Nombre de mailles	Schéma monotone	Schéma non monotone
8	0	5
16	0	4
32	0	2
64	0	2
128	0	3

Table: Comparaison du nombre de composantes négatives des schémas monotone et non-monotone, sur maillage déformé, à l'ordre 3.

Maillage primal

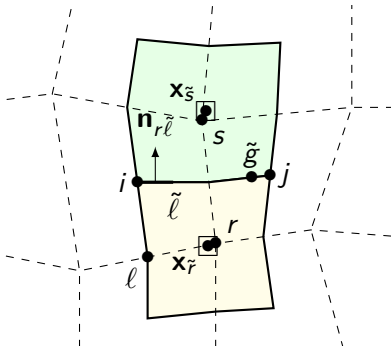


- ▶ r et s : sommets,
- ▶ l : arête du maillage primal, de mesure $|l|$,
- ▶ i et j : mailles,
- ▶ g : point de quadrature de Gauss sur l'arête l ,
- ▶ x_r : position du sommet r ,
- ▶ x_j : position du centre de gravité de la maille j ,
- ▶ x_ℓ : position du centre de l'arête l ,
- ▶ V_j : volume de la maille j .
- ▶ \mathbf{n}_{il} : normale unitaire à l'arête l , sortante pour la maille i .

Figure: Maillage primal

Maillage dual

Méthode DDFV (Discrete Duality Finite Volume)¹



- ▶ r et s : mailles
- ▶ i, j et l : sommets,
- ▶ \tilde{l} : arête du maillage dual, de mesure $|\tilde{l}|$,
- ▶ \tilde{g}_r : point de quadrature des Gauss sur l'arête \tilde{l} ,
- ▶ x_r : position du sommet r ,
- ▶ $x_{\tilde{r}}$: position du centre de gravité de la maille duale r ,
- ▶ V_r : volume de la maille r ,
- ▶ $\mathbf{n}_{r\tilde{l}}$: normale unitaire à l'arête \tilde{l} , sortante pour la maille r .

Figure: Maillage dual aux sommets

¹Jean-Sylvain Camier, François Hermeline, International journal for numerical methods in engineering, 2016.

Problème

$$\begin{cases} -\Delta u + u = f & \text{dans } \Omega, \\ u = g & \text{sur } \partial\Omega, \end{cases}$$

Méthode volumes finis

$$-\sum_{\ell \in \partial i} \int_{\ell} \kappa \nabla u \cdot \mathbf{n} = \int_i f.$$

Méthode de quadrature

$$-\sum_{\ell \in \partial i} |\ell| \sum_{g \in \ell} \omega_g \kappa_g (\nabla u)_g \cdot \mathbf{n}_{i\ell} \approx \int_i f,$$

avec ω_g les poids de la quadrature de Gauss.

Calcul des flux

$$\bar{F}_{\ell} = -\sum_{g \in \ell} \omega_g \kappa_g (\nabla u)_g \cdot \mathbf{n}_{i\ell}.$$

Calcul des flux

Développements de Taylor à l'ordre k au voisinage de \mathbf{x}_g

$$u_j = u(\mathbf{x}_g) + (\mathbf{x}_j - \mathbf{x}_g) \cdot \nabla u(\mathbf{x}_g) + \sum_{\rho=2}^k \frac{1}{V_j \rho!} \sum_{m=0}^{\rho} \binom{\rho}{\rho-m} \frac{\partial^{\rho} u}{\partial x^m \partial y^{(\rho-m)}}(\mathbf{x}_g) \int_j (x - x_g)^m (y - y_g)^{(\rho-m)} + \mathcal{O}(h^{k+1}),$$

$$u_i = u(\mathbf{x}_g) + (\mathbf{x}_i - \mathbf{x}_g) \cdot \nabla u(\mathbf{x}_g) + \sum_{\rho=2}^k \frac{1}{V_i \rho!} \sum_{m=0}^{\rho} \binom{\rho}{\rho-m} \frac{\partial^{\rho} u}{\partial x^m \partial y^{(\rho-m)}}(\mathbf{x}_g) \int_i (x - x_g)^m (y - y_g)^{(\rho-m)} + \mathcal{O}(h^{k+1}).$$

On soustrait :

$$(\mathbf{x}_j - \mathbf{x}_i) \cdot \nabla u(\mathbf{x}_g) = u_j - u_i + r_{ij},$$

$$r_{ij} = - \sum_{\rho=2}^k \frac{1}{\rho!} \sum_{m=0}^{\rho} \binom{\rho}{\rho-m} \frac{\partial^{\rho} u(\mathbf{x}_g)}{\partial x^m \partial y^{(\rho-m)}} \left(\frac{1}{V_j} \int_j (x - x_g)^m (y - y_g)^{(\rho-m)} - \frac{1}{V_i} \int_i (x - x_g)^m (y - y_g)^{(\rho-m)} \right) + \mathcal{O}(h^{k+1}).$$

Calcul des flux

Même méthode sur les mailles duales

$$(\mathbf{x}_s - \mathbf{x}_r) \cdot \nabla u(\mathbf{x}_g) = u_s - u_r + r_{rs},$$

$$r_{rs} = - \sum_{p=2}^k \frac{1}{p!} \sum_{m=0}^p \binom{p}{p-m} \frac{\partial^p u(\mathbf{x}_g)}{\partial x^m \partial y^{(p-m)}} \left(\frac{1}{V_s} \int_s (x - x_g)^m (y - y_g)^{(p-m)} - \frac{1}{V_r} \int_r (x - x_g)^m (y - y_g)^{(p-m)} \right) + \mathcal{O}(h^{k+1}).$$

Système d'inconnue $\nabla u(\mathbf{x}_g)$

$$\begin{cases} \nabla u(\mathbf{x}_g) \cdot (\mathbf{x}_j - \mathbf{x}_i) = u_j - u_i + \bar{r}_{ij}, \\ \nabla u(\mathbf{x}_g) \cdot (\mathbf{x}_s - \mathbf{x}_r) = u_s - u_r + \bar{r}_{rs}. \end{cases}$$

Décomposition de la normale $\mathbf{n}_{i\ell}$ dans la base $((\mathbf{x}_j - \mathbf{x}_i), (\mathbf{x}_s - \mathbf{x}_r))$

$$\mathbf{n}_{i\ell} = \alpha_{i\ell}(\mathbf{x}_j - \mathbf{x}_i) + \beta_{i\ell}(\mathbf{x}_s - \mathbf{x}_r),$$

avec $\alpha_{i\ell} \geq 0$.

$$(\nabla u)_g \cdot \mathbf{n}_{i\ell} = \alpha_{i\ell} (u_j - u_i + r_{ij}(\mathbf{u})) + \beta_{i\ell} (u_s - u_r + r_{rs}(\mathbf{u})).$$

Calcul des flux

Inconnues mailles-sommets : $\mathbf{u} = \begin{pmatrix} \mathbf{u}^{\mathcal{J}} \\ \mathbf{u}^{\mathcal{R}} \end{pmatrix}$.

Flux numérique :

$$\mathcal{F}_\ell(\mathbf{u}) = -|\ell| \sum_{g \in \ell} \omega_g \kappa_g (\alpha_{il} (u_j - u_i + r_{ij}(\mathbf{u})) + \beta_{il} (u_s - u_r + r_{rs}(\mathbf{u}))),$$

Autrement dit

$$\mathcal{F}_\ell(\mathbf{u}) = -\gamma_\ell (u_j - u_i) + r_\ell(\mathbf{u}),$$

avec

$$\begin{cases} r_\ell(\mathbf{u}) = |\ell| \sum_{g \in \ell} \omega_g \kappa_g (\alpha_{il} r_{ij}(\mathbf{u}) + \beta_{il} (u_s - u_r + r_{rs}(\mathbf{u}))), \\ \gamma_\ell = \left(\alpha_{il} |\ell| \sum_{g \in \ell} \omega_g \kappa_g \right) \geq 0. \end{cases}$$

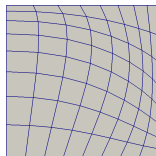
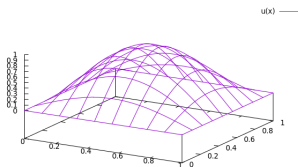
Tests numériques

$$\begin{cases} -\Delta u = f & \text{dans } \Omega =]0, 1[\times]0, 1[, \\ u = 0 & \text{sur } \partial\Omega. \end{cases}$$

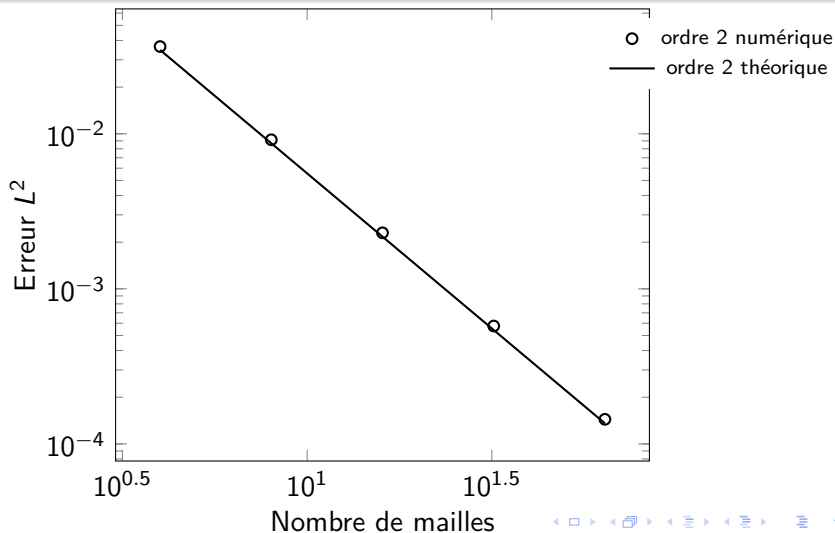
$$f(x, y) = 2\pi^2 \sin(\pi x) \sin(\pi y) \geq 0.$$

Solution analytique

$$u(x, y) = \sin(\pi x) \sin(\pi y),$$



Convergence L^2 sur le maillage primal



Conclusion : schéma volumes finis sur maillage déformé :

- conservatif
- positif
- consistant (ordre élevé).

Perspectives :

- Ordre élevé en 2D.
- Inconnue tensorielle.
- Discrétisation en temps.